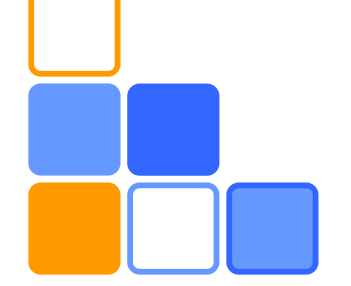
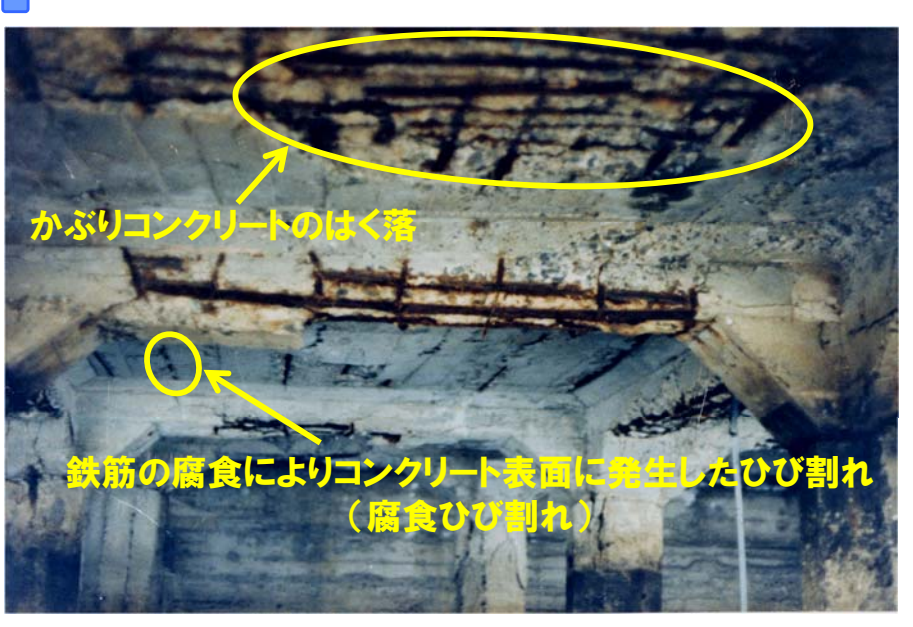
平成24年度 SCOPE研究開発助成 成果報告会(平成22年度採択)

非破壊評価を援用した港湾コンクリート 構造物の塩害劣化予測手法の開発



大阪大学大学院 鎌田敏郎 佐賀大学大学院 〇内田慎哉

塩害劣化したRCスラブの一例





1点検:調査

目視:ひび割れ

テストハンマー: 圧縮強度

電磁波レーダ法/電磁誘導法:鉄筋径, かぶり厚さなど

EPMA: 塩化物イオン濃度量

自然電位法/分極抵抗法:鉄筋腐食程度など



2保有性能評価 劣化予測

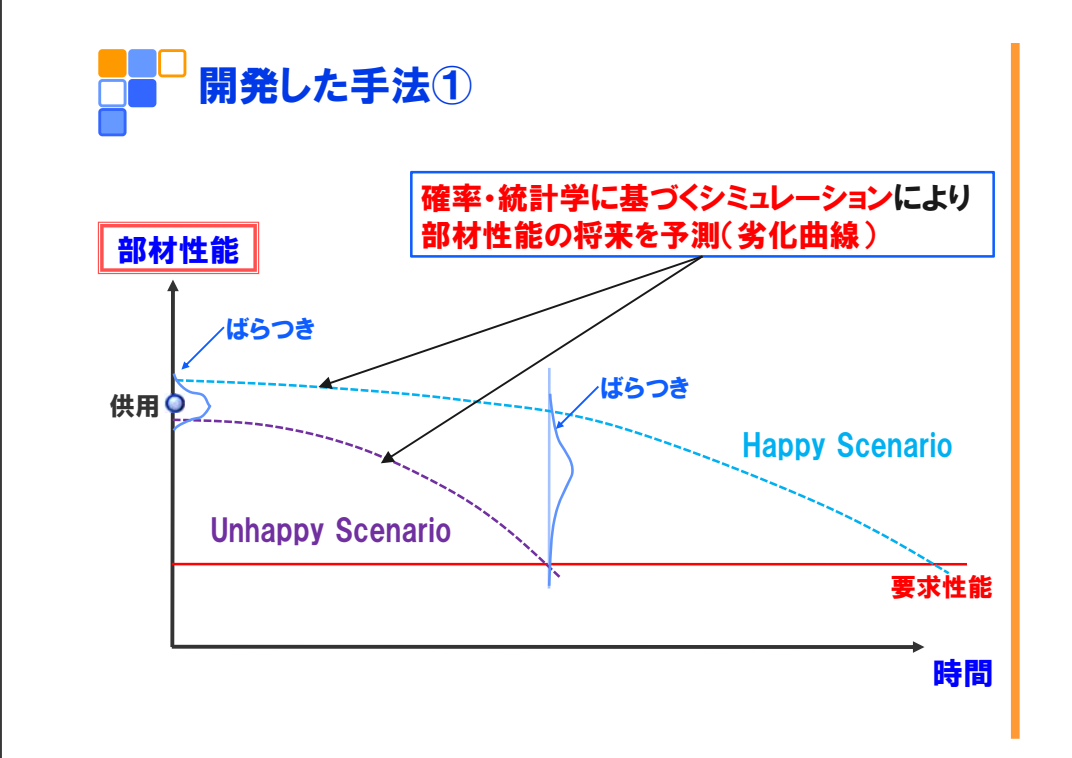


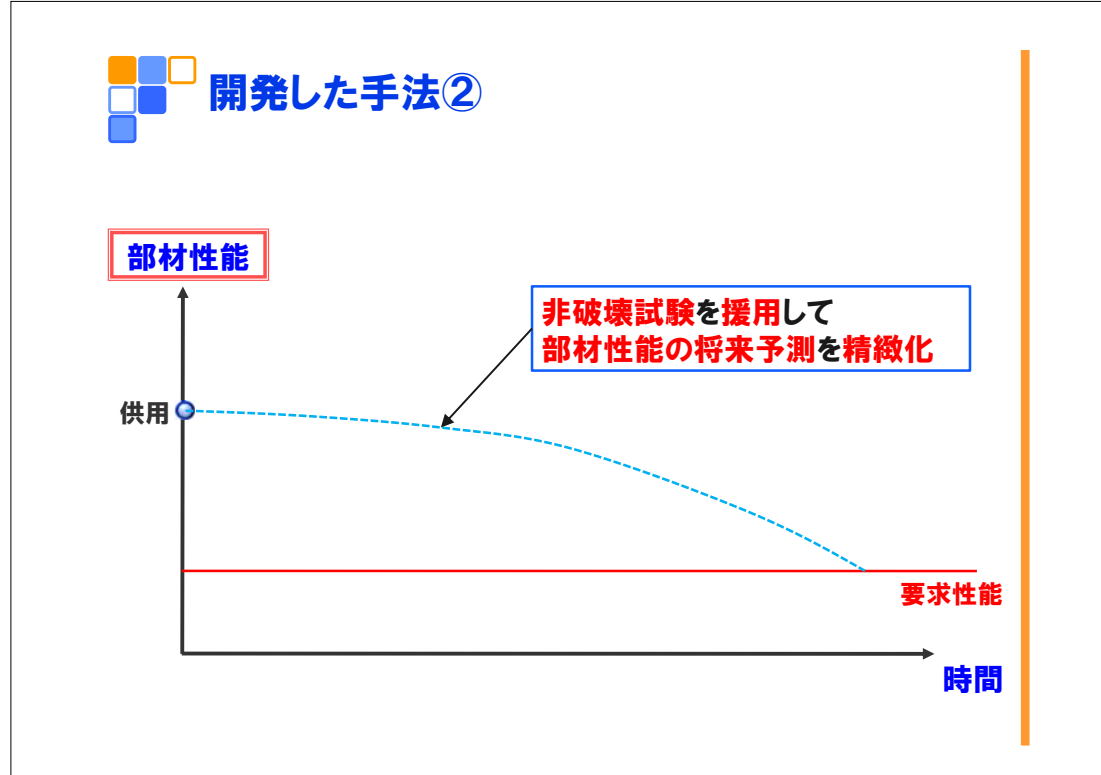
③補修・補強対策 の検討

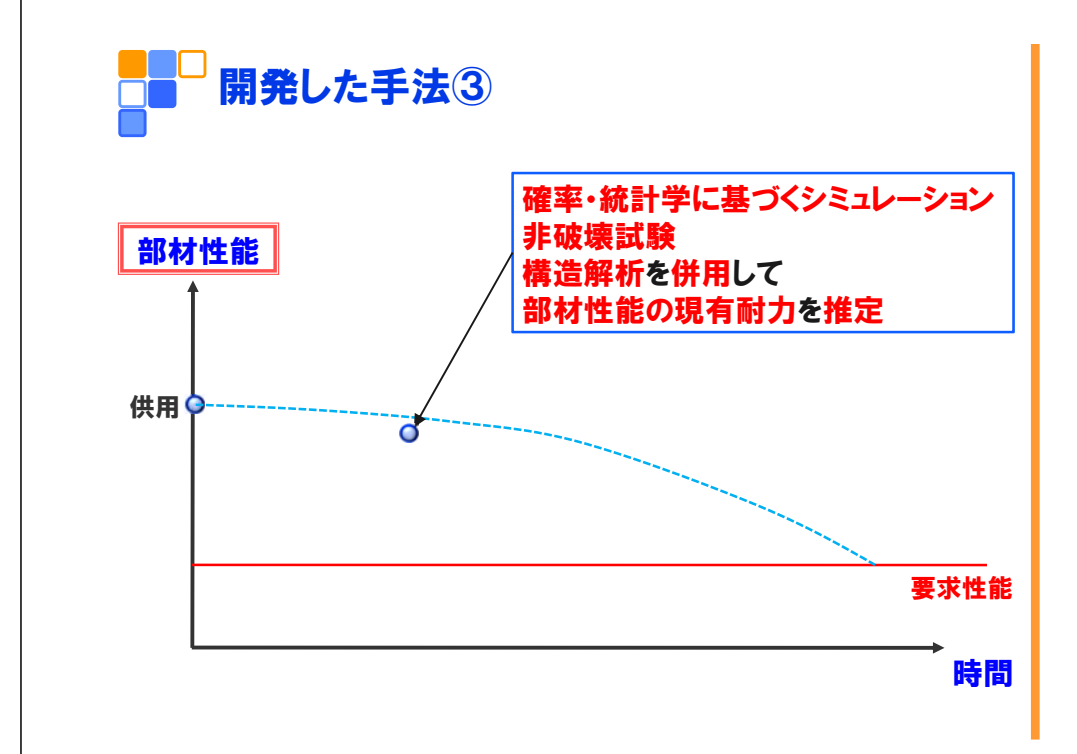
·耐荷性能 保有 ·耐震性能 性能 ·耐久性能 時間 など

現在

- ・コスト
- •耐用年数
- ·設計手法
- •性能改善度
- 施工条件 など

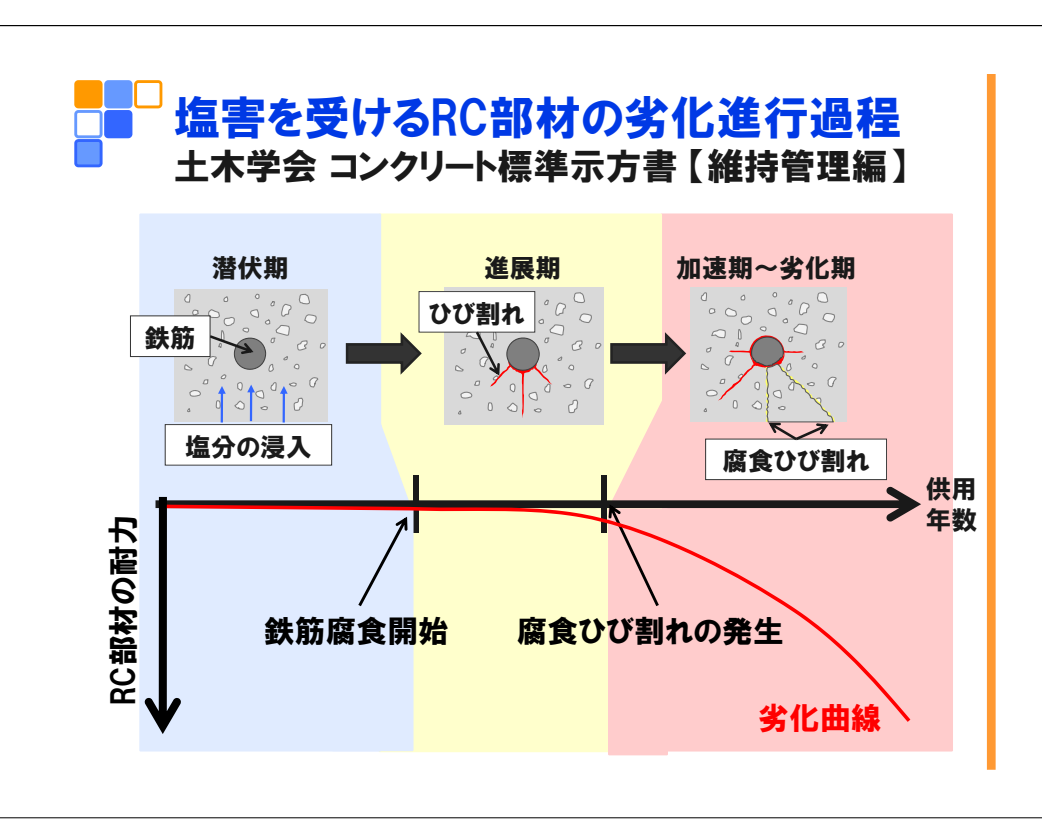








①確率・統計学に基づくシミュレーションにより 部材性能の将来を予測する手法



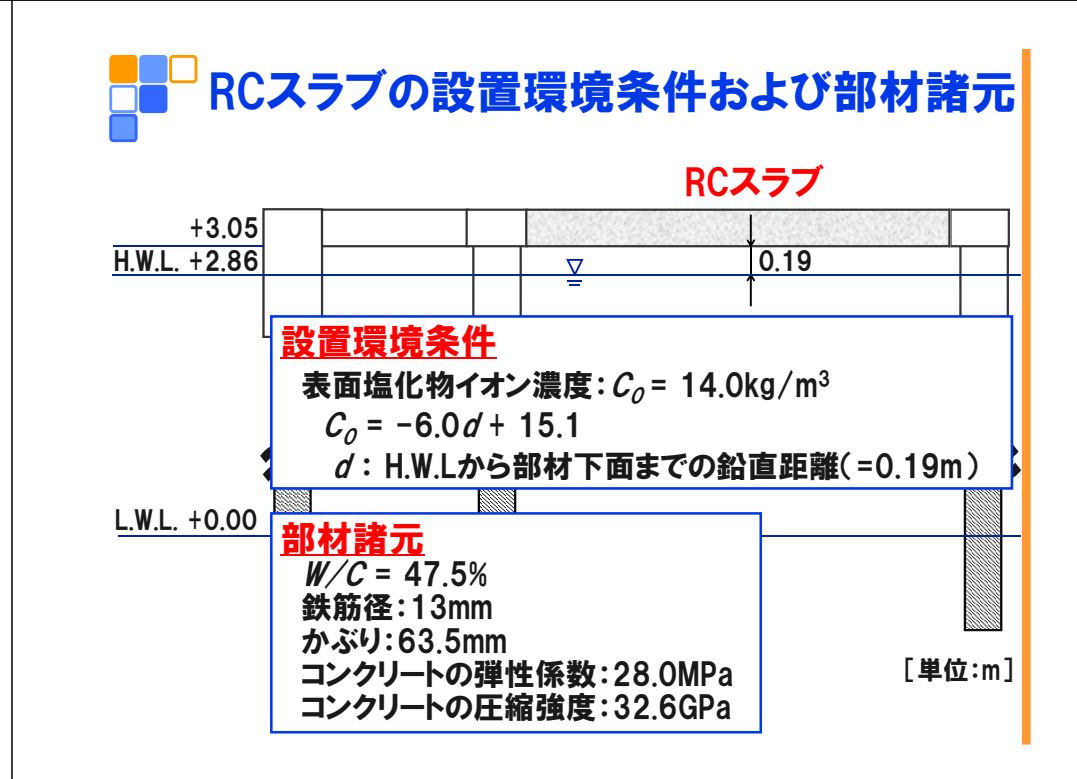


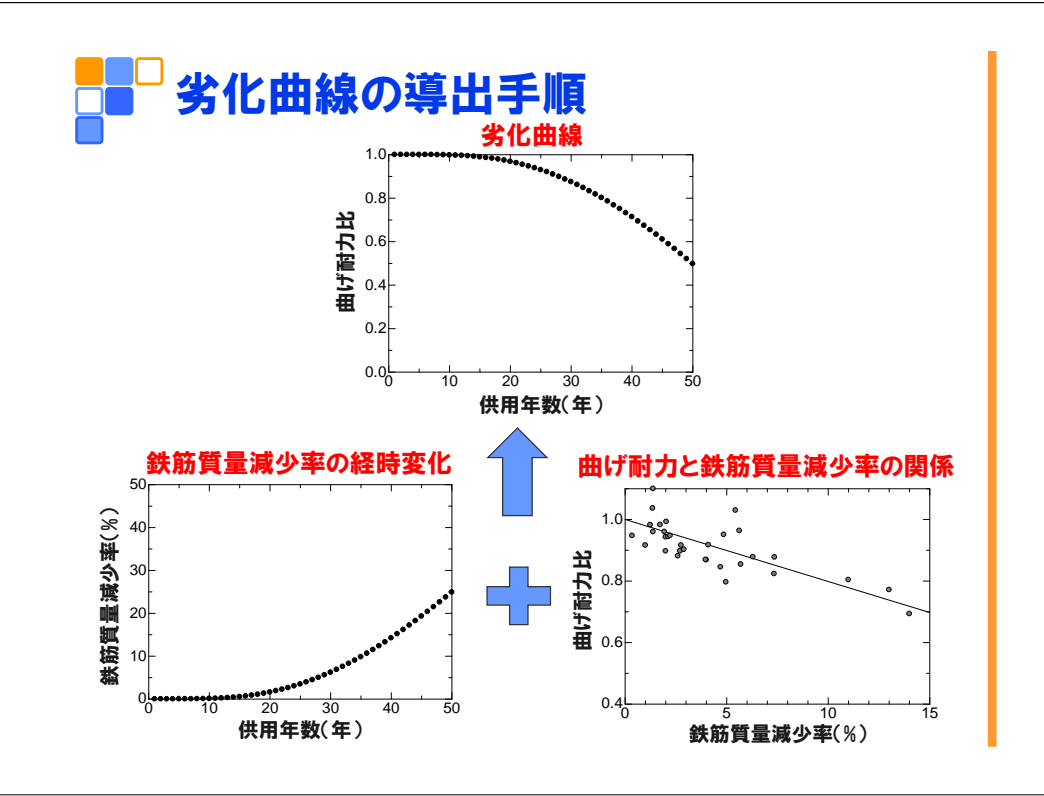
塩害によるRC部材の劣化進行過程を確率過程を含む 数値モデルとして取り扱い.

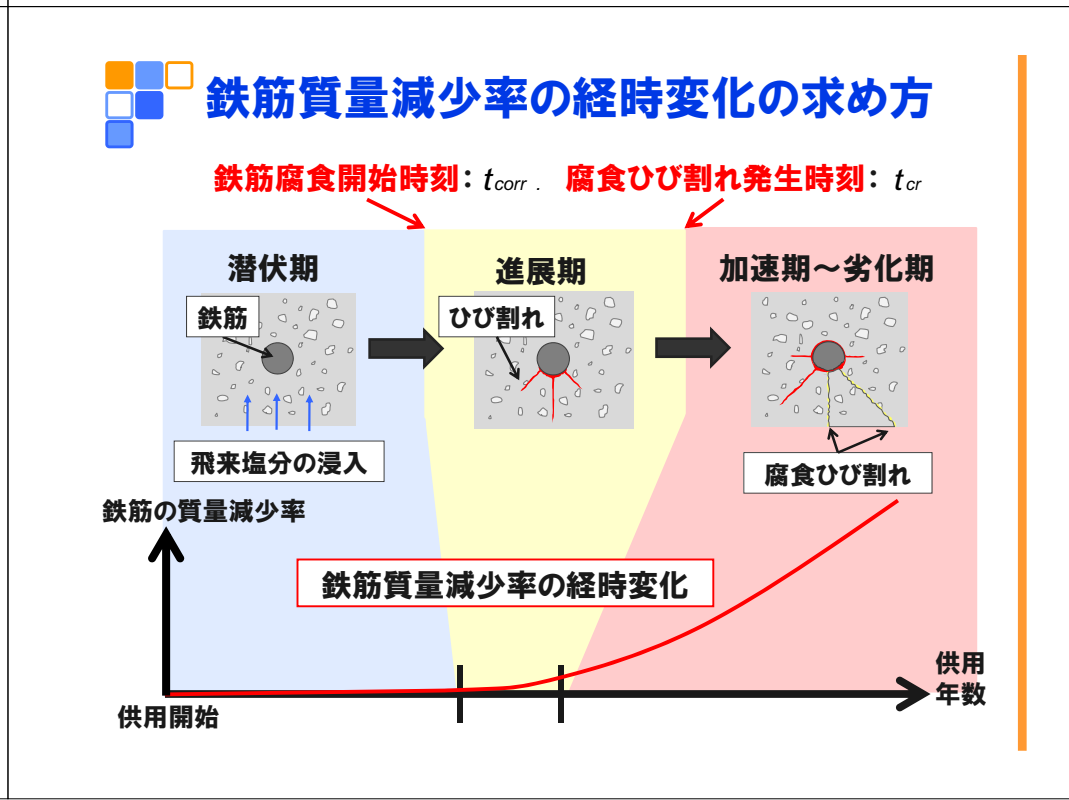
- ①飛沫帯にあるRCスラブを対象に、
 - ・部材の設置環境条件(表面塩化物イオン濃度)
 - ・部材諸元(かぶりなど)

から「曲げ耐力に関する劣化曲線」の導出を試みた。

②「劣化曲線から推定した曲げ耐力(本研究)」と 「載荷試験により実測した曲げ耐力(港空研データ)」とを 比較することにより劣化曲線の妥当性の検証を行った。









鉄筋腐食開始時刻の算出方法

$$g_1 = C_0 \begin{cases} 1 - erf \\ 2\sqrt{Dt} \end{cases}$$

C..... 鉄筋腐食発生限界塩化物イオン濃度(kg/m³)

C。:コンクリート表面の塩化物イオン濃度(kg/m³) C:かぶり(cm)

D:塩化物イオンの見かけの拡散係数(cm3/年)

t :供用開始からの経過時間(年)

確率変数(MCMにより10000個の観測値を生成)

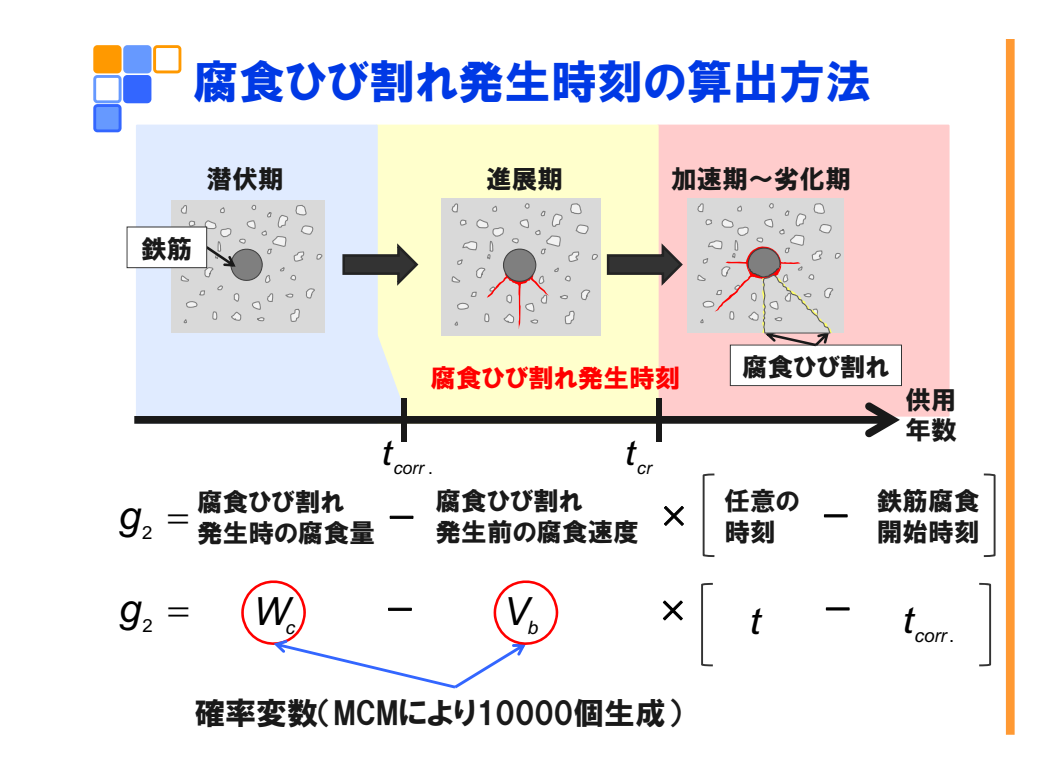


鉄筋腐食開始時刻の算出方法

 $g_1 =$ 鉄筋腐食発生限界 $g_2 = g_3$ 鉄筋腐食発生限界 $g_3 = g_4$ 鉄筋位置の塩化物イオン濃度

鉄筋腐食開始時刻の算出方法

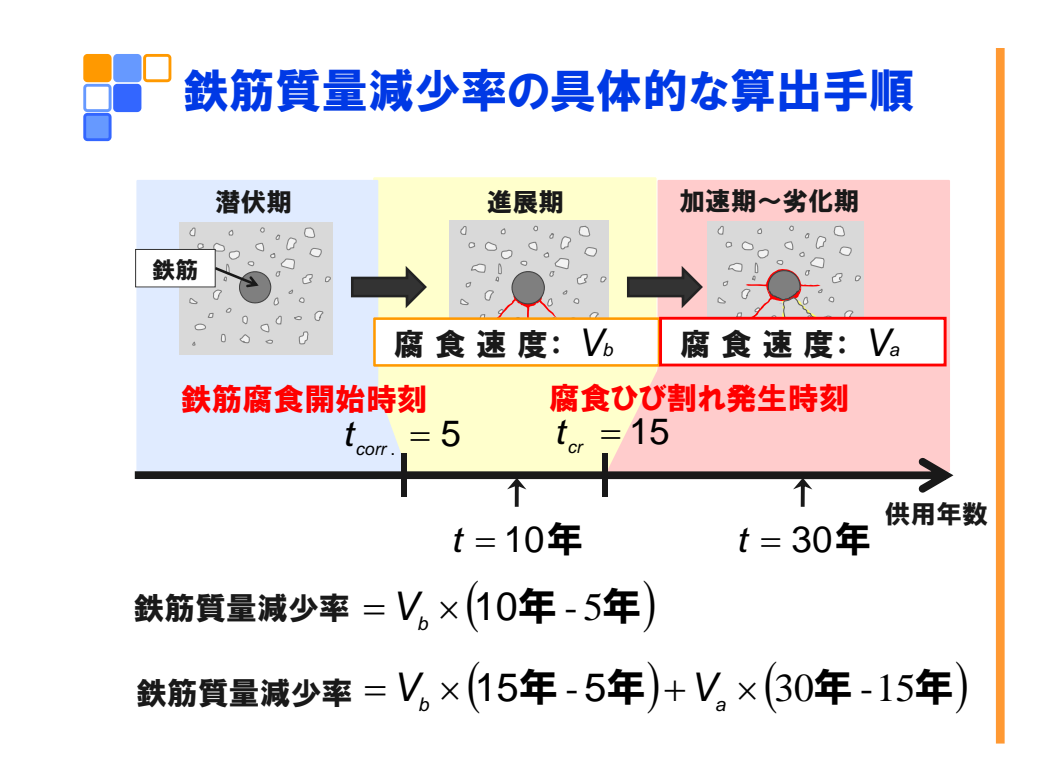
鉄筋腐食開始時刻: $t_{corr.} = \frac{1}{4D} \left\{ \frac{0.1c}{erf^{-1} \left(1 - \frac{C_{lim}}{C_0} \right)} \right\}^2$

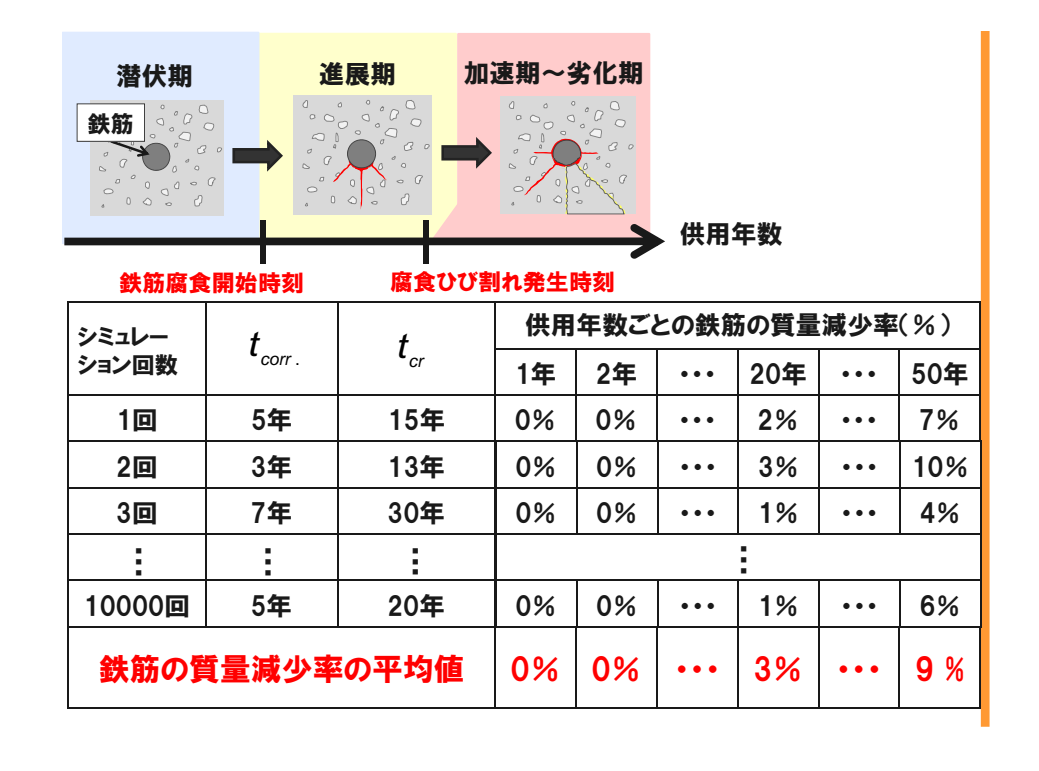


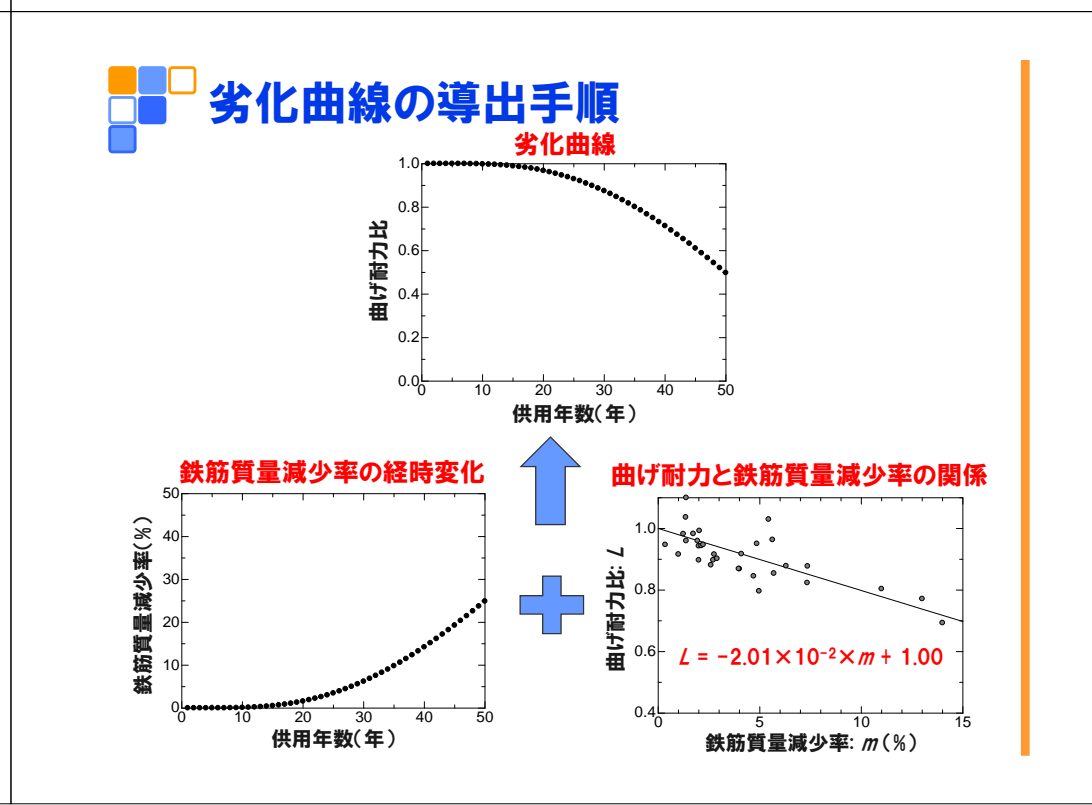


腐食ひび割れ発生時刻の算出方法

腐食ひび割れ発生時刻:
$$t_{cr} = t_{corr.} + \frac{W_c}{V_b}$$







曲げ耐力に関する劣化曲線の導出結果 1.0 0.8 0.6 RC桟橋から切り出したRCスラブに対して行われた 載荷試験により把握した曲げ耐力の実測値(港空研データ) 0.2 0.0 供用年数(年)





- ②非破壊試験を援用して部材性能の将来予測 を精緻化する手法
- ③確率・統計学に基づくシミュレーション 非破壊試験/構造解析を併用して 部材性能の現有耐力を推定する手法

■■非破壊試験などによる調査概要

4中性化深さ

1目視

5EPMA



- ②電磁波レーダ法, 電磁誘導法
- ③テストハンマー



非破壊試験などによる調査結果

- 1目視
 - → 加速期(表面に腐食によるひび割れが一部発生)
- ②電磁波レーダ法, 電磁誘導法
 - → 鉄筋径:25mm, かぶり厚さ:44mm

鉄筋位置:下面側に4本

- ③テストハンマー
 - → 圧縮強度:39.2MPa



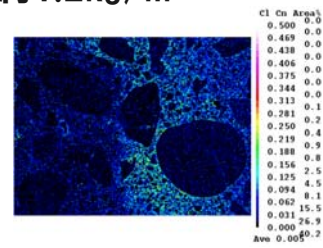
非破壊試験などによる調査結果

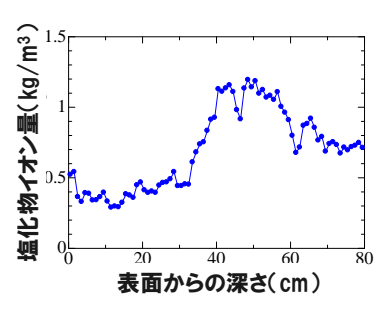
- 4中性化深さ
 - → 約2cm



5EPMA

→ 約1.2kg/m³





劣化曲線の導出条件

非破壊を援用しない場合

非破壊を援用した場合

設置環境条件

飛来塩分: 0.099mdd (mg/dm²/day) 内在塩分: 0.0.5, 1.0, 1.5, 2.0, 2.5kg/m³

部材諸元

W/C = 50%

鉄筋径:19, 22, 25mm かぶり:30, 40, 50mm

コンクリートの弾性係数:28.0GPa コンクリートの圧縮強度:30.0MPa

設置環境条件

内在塩分:1.2kg/m³

部材諸元

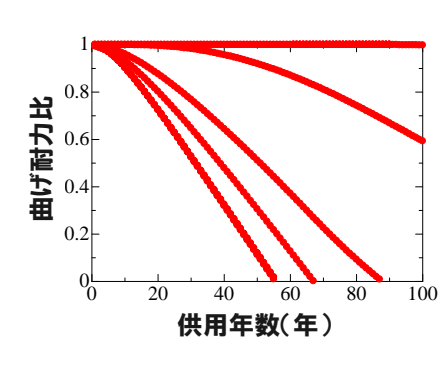
W/C=50% 鉄筋径:25mm かぶり:44mm

コンクリートの弾性係数:31.0GPa コンクリートの圧縮強度:39.2MPa

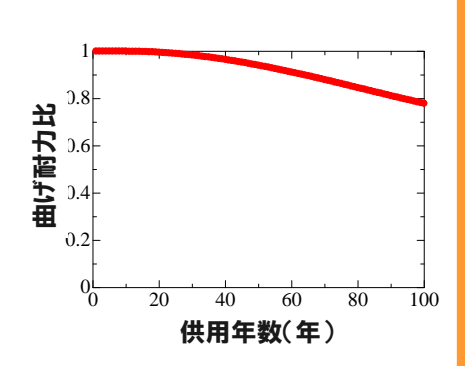


劣化曲線

非破壊を援用しない場合



非破壊を援用した場合





③確率・統計学に基づくシミュレーション 非破壊試験/構造解析を併用して 部材性能の現有耐力を推定する手法



部材の現有耐力を推定する手順

鉄筋腐食開始時刻の推定

→ 確率・統計学に基づくシミュレーション



鉄筋径、かぶり厚さ、鉄筋位置の把握

→ 電磁波レーダ法, 電磁誘導法



鉄筋の腐食速度の測定

→ 分極抵抗法



鉄筋の腐食量を推定

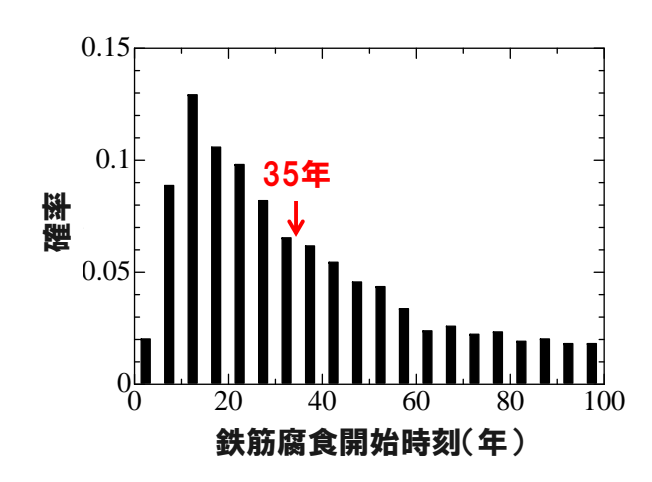
→ 鉄筋腐食開始時刻と分極抵抗法の結果



構造解析により曲げ耐力を算出



鉄筋腐食開始時刻の推定



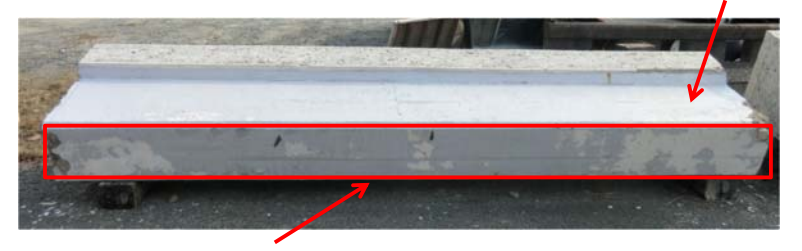


非破壊試験などによる調査概要

4中性化深さ

1月視

5EPMA

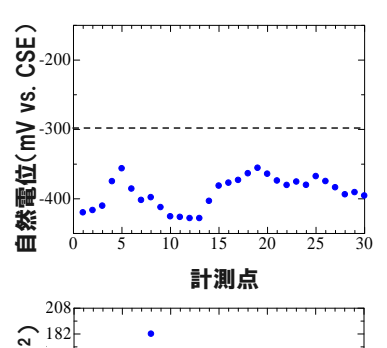


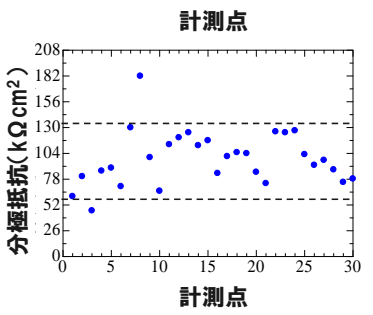
- ②電磁波レーダ法. 電磁誘導法
- ③テストハンマー
- 6自然電位法
- 7分極抵抗法



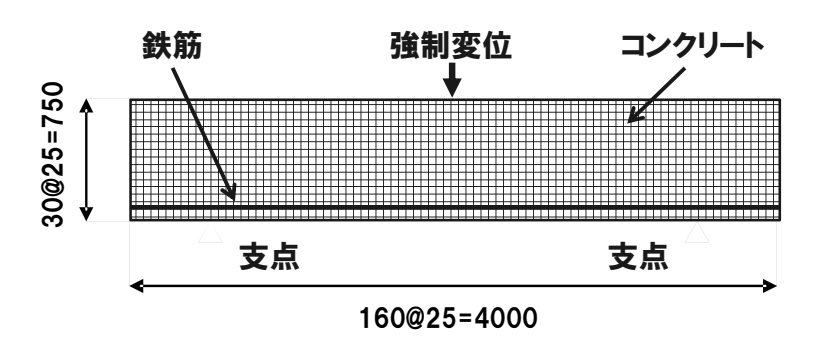
非破壊試験などによる調査結果

- ②電磁波レーダ法, 電磁誘導法
 - → 鉄筋径:25mm かぶり厚さ:44mm 鉄筋位置:下面側に4本
- 6自然電位法
 - → 90%以上の確率で腐食あり (ASTM C 876)
- 7分極抵抗法
 - → 低~中程度の腐食速度 (CEB)



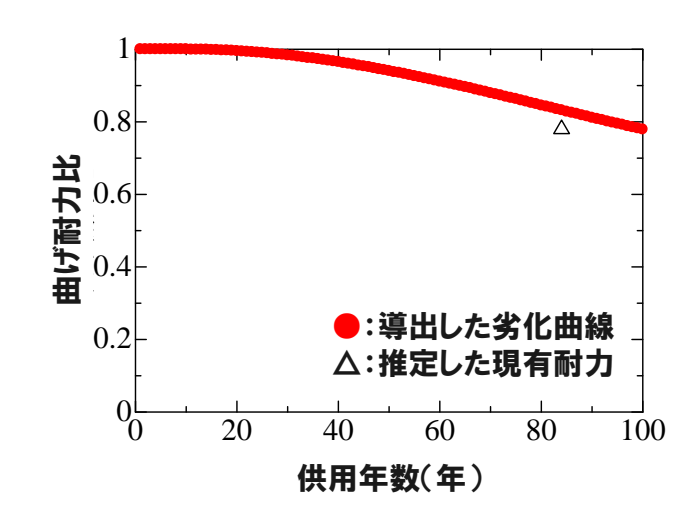


解析の概要





劣化曲線と現有耐力との比較





まとめ

- 1. 塩害によるRC部材の劣化進行過程を確率過程を含む数値モデルとして取り扱い、モンテカルロシミュレーションにより、RC部材が設置されている環境条件および部材設計諸元から、部材の曲げ耐力に関する劣化曲線を導出する方法を構築した。
- 2. 実橋から切り出したRC部材を対象に、上記1の劣化予測手法に対して非破壊試験を援用した劣化予測手法も新たに提案した。
- 3. シミュレーションによる劣化予測手法および非破壊試験などの調査により鉄筋の腐食量を推定し、これをインプットデータとした構造解析により、現有曲げ耐力を推定する方法を構築した。
- 4. 上記2および3で推定した曲げ耐力は、比較的良い対応を示した。
- 5. 非破壊試験を援用した劣化予測手法は、シミュレーションによる 劣化予測手法と比較して劣化予測の精度が向上する可能性が あることを明らかにした。